

края образца к образцу прикладывалась сосредоточенная нагрузка, направленная вертикально вверх. По центру шпунтовой стенки был установлен датчик перемещения, для замера фактического прогиба образца. Сосредоточенная нагрузка создавалась за счет параллельно работающих от одной насосной станции двух гидроцилиндров. Подготовленный испытательный стенд представлен на рисунках 3 и 4. Во время испытания проводились замеры нагрузки в одном из гидроцилиндров, а также прогиб в точке размещения датчика перемещения.

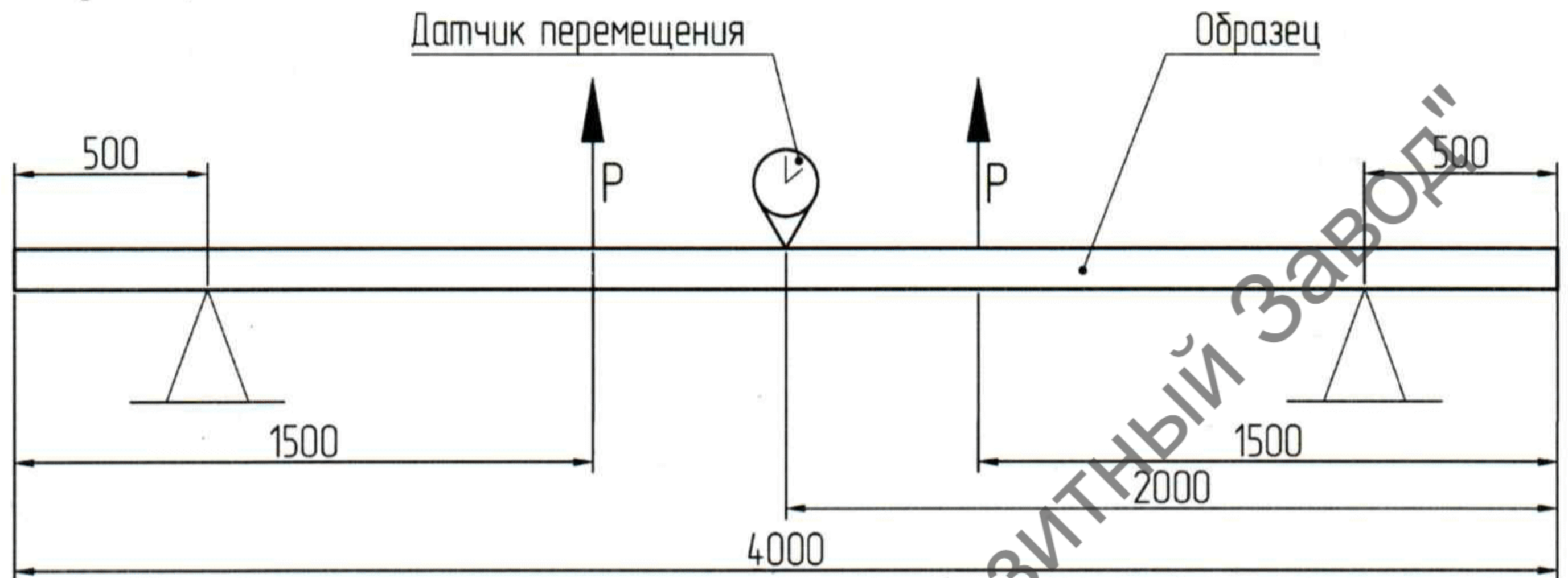


Рисунок 2. Расчетная схема



Рисунок 3. Испытательный стенд



Рисунок 4. Испытательный стенд

Результаты испытаний. Результаты испытаний представлены в таблице 1. На основании полученных данных построен график зависимости приложенной нагрузки от прогиба центрального сечения образца. График представлен на рисунке 5. Средняя разрушенная часть образца после испытания представлена на рисунках 6 и 7.

Таблица 1. Результаты испытаний

Нагрузка, кгс	Прогиб, мм
0	0,0
500	18,2
1000	47,0
1500	77,4
2000	113
2500	167
2900	215
3000	337
3300	379

Таким образом, по результатам испытаний можно сделать вывод, что 1 п.м. шпунтовой стенки, согласно настоящей расчетной схеме, выдерживает нагрузку не менее 3300 кгс (32,4 кН).

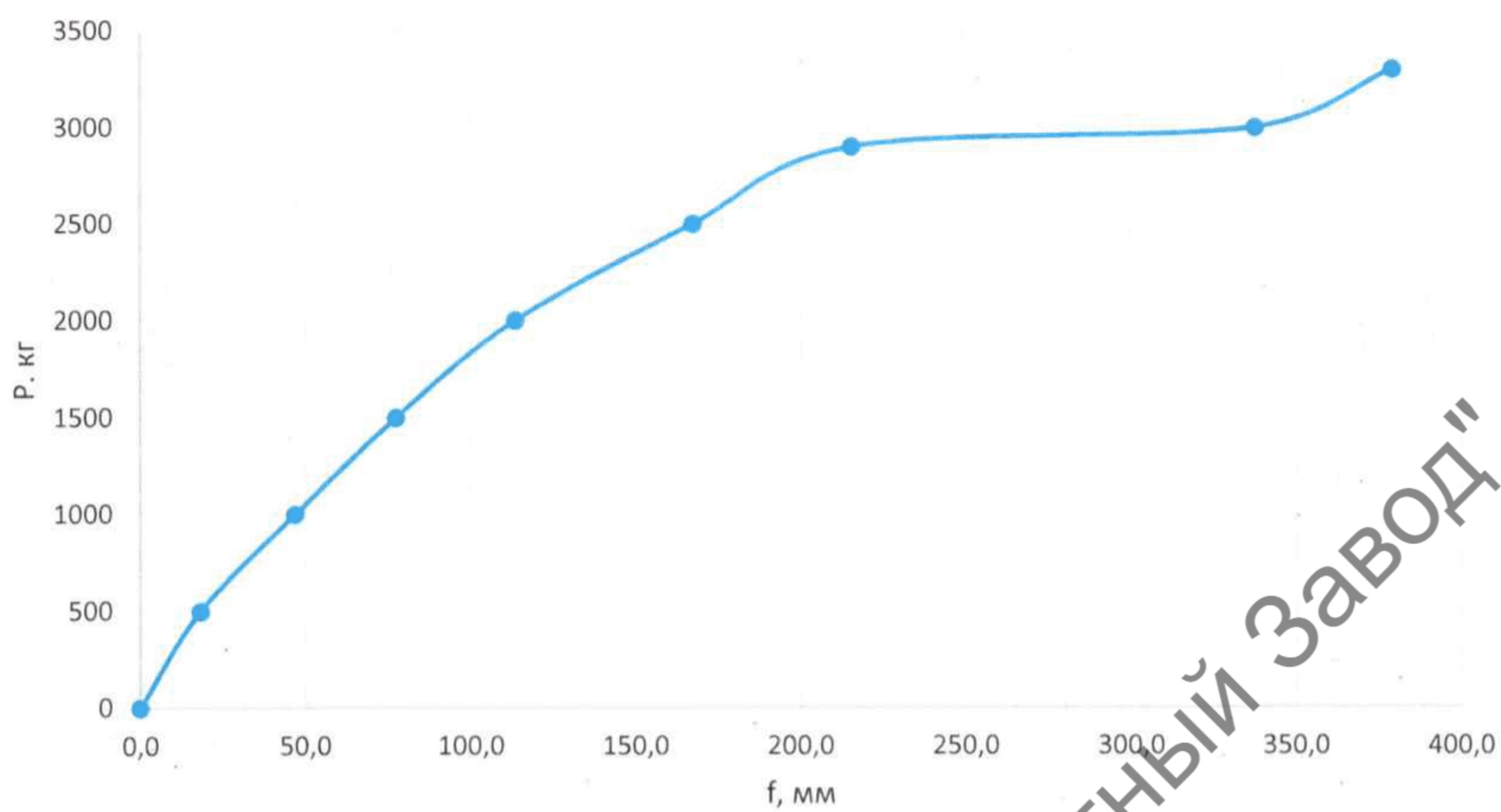


Рисунок 5. Зависимость прикладываемой нагрузки от перемещения центрального сечения образца



Рисунок 6. Средняя часть образца после испытания



Рисунок 7. Средняя часть образца после испытания

Начальник контролирующего подразделения:

Зам. директора НИЦС по науке


Е.А. Чуреев

Испытание проводили:


Ведущий инженер ОЛЭППС НИЦС


Д.А. Романюта


Инженер-метролог НИЦС


С.А. Омелянчик

Инженер ОЛЭППС НИЦС


В.А. Гапанович

Инженер ОЛЭППС


О.Л. Пожарицкий